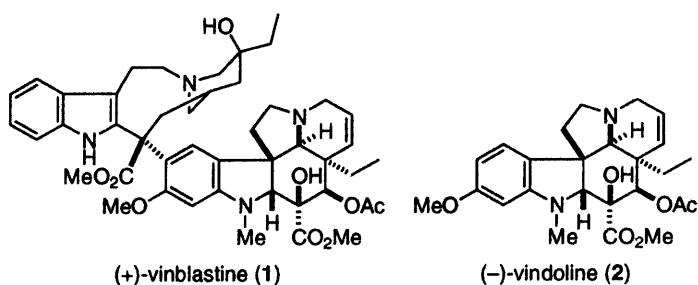


論文の内容の要旨

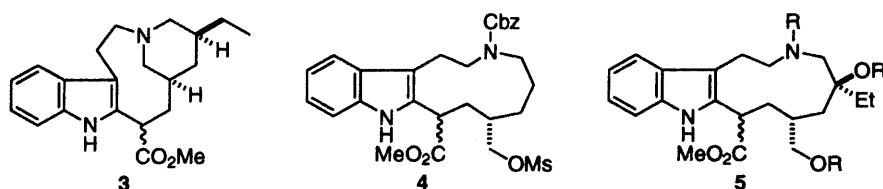
論文題目 Total Synthesis of (+)-Vinblastine
(和訳:(+)-ビンプラスチンの全合成)
氏名 横島 聰

ビンプラスチン(1)は *Catharanthus roseus* から見い出されたアルカロイドであり、現在、悪性リンパ腫、絨毛性腫瘍の有効な治療薬として使用されている¹。またビンプラスチンは、上下2種類の異なるインドールユニットが結合した特異な構造を有することから、合成化学的にも非常に興味深い化合物であり、多くの合成研究が行われている²。しかしながら下部ビンドリン部位でさえも、これまで報告されている全合成法はビンプラスチン合成研究への化合物供給という意味では不十分であった。したがって、数例達成されているビンプラスチンの合成はいずれも天然物であるビンドリン(2)を原料として用いている。優れた薬効が期待されるビンプラスチンをリード化合物とした新規医薬品の創製のためには、系統的な誘導体合成は有効な手段であり、そのためにもビンドリンをも含めたビンプラスチンの全合成は合成化学者が解決すべき重要な課題である。今回、当研究室で開発された *o*-アルケニルチオアニリドのラジカル環化反応を用いた新規2,3-二置換インドール合成法³を用いて、ビンプラスチンを構成する上下2つのインドールユニットを合成し、それらをカップリングすることにより(+)-ビンプラスチンの全合成を達成した。下部ビンドリンの合成に関しては共同研究者らにより既に報告がなされている⁴。私は上部ユニットの合成およびビンドリンとのカップリングに関して検討を行った。



ビンドリンの導入における立体化学

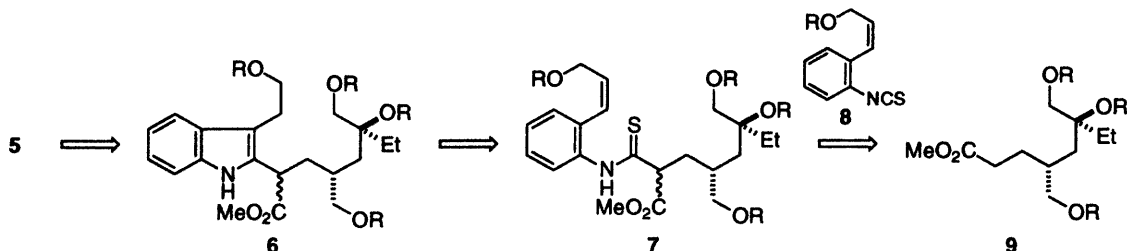
上部インドールユニットとビンドリンとのカップリング反応において、2つのインドールユニットの結合の立体化学の制御が重要な問題となる。例えば3に対してビンドリンを導入すると、望みとは逆の立体選択性で反応が進行することが知られている^{2a}。そのため望みの立体化学でビンドリンを導入するためには、上部ユニットの骨格を適当な形へと変換し、ビンドリンを導入しなくてはならない。計算化学的な考察を行った結果、4のような11員環化合物は、その安定コンフォメーションにおいて、紙面下側の方が空いていることが明かとなった。また Schill らは4に対するビンドリンの導入は、望みの立体化学で進行することを報告している⁵。そこで私は5のような11員環化合物を合成し、ビンドリンとのカップリング反応を試みることとした。



上部インドールユニットの合成

5を合成するにあたって、次のような逆合成解析を行った (Scheme 1)。11員環形成を合成の終盤で行うとすると、6のような2,3-二置換インドールが前駆体となる。このインドールは当研究室のインドール合成法を用いると7のようなチオアニリドから合成でき、7はイソチオシアネート8に対するエステル9のエノラートの付加により得ることができる。そこでまず9を次のように合成した (Scheme 2)。

Scheme 1

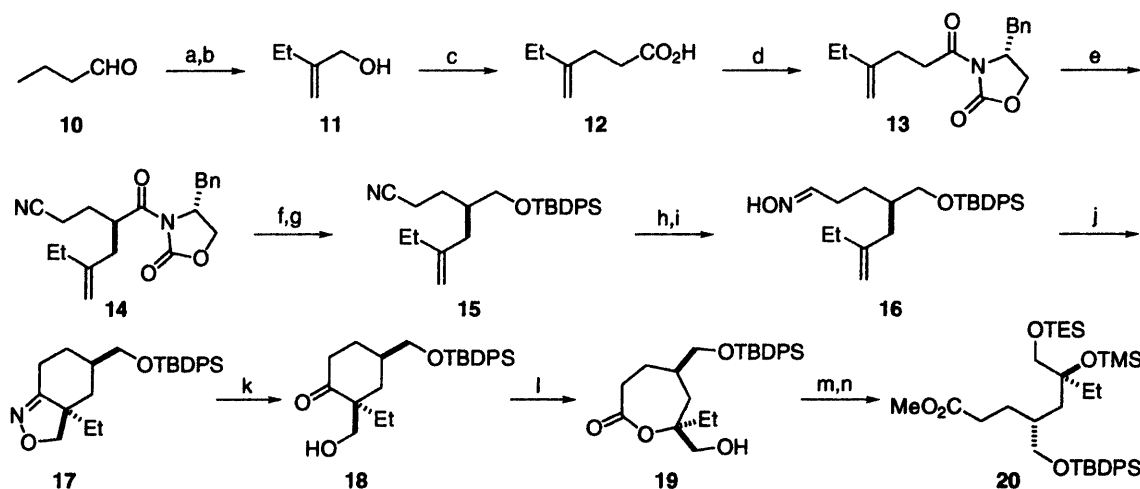


ブチルアルデヒド(10)から2工程で得られるアルコール11を、Claisen-Johnson反応を用いて増炭し、続いて加水分解を行いカルボン酸12を得た。12に対しオキサゾリジノン型不斉補助基を導入し、得られたイミド13を不斉Michael反応の条件に付したところ、反応は高ジアステレオ選択的に進行し、14を与えた⁶。不斉補助基の還元的除去、生じた水酸基の保護の後、15を水素化ジイソブチルアルミニウムを用いて還元し、得られたアルデヒドをオキシム16へと変換した。16を次亜塩素酸ナトリウムで処理したところ、ニトリルオキシドの生成、引き続く分子内1,3-双極子付加環化が進行することにより、イソキサゾリン17を单一異性体として与えた。17のN-O結合を還元的に開裂しヒドロキシケトン18とし、続いてBaeyer-Villiger反応を行いラクトン19を得た。ラクトン環を開裂した後、水酸基を保護し目的とするエステル20を得た。

このようにして合成したエステル20のエノラートをイソチオシアネート21に対して付加し、チオアニリド22を得た (Scheme 3)。22のラジカル環化反応は室温下速やかに進行し、インドール23を与え、続いて保護、脱保護を行いトリオール24へと導いた。11員環の構築に関しては、2-ニトロベンゼンスルホニアミド(Nsアミド)のアルキル化反応を用いる中大員環合成法が有効であった⁷。まず24の1,2-ジオールの1級水酸基を選択的にトシリル化し、加熱することによりエポキシド25へと変換した。残った1級水酸基に対し光延反応によりNsアミドを導入し環化前駆体26へと導いた。26を炭酸カリウム存在下、加熱条件に付したところ、位置選択的に中員環形成反応が進行し、11員環化合物27を与えた。続いて脱保護、保護を行いカップリング前

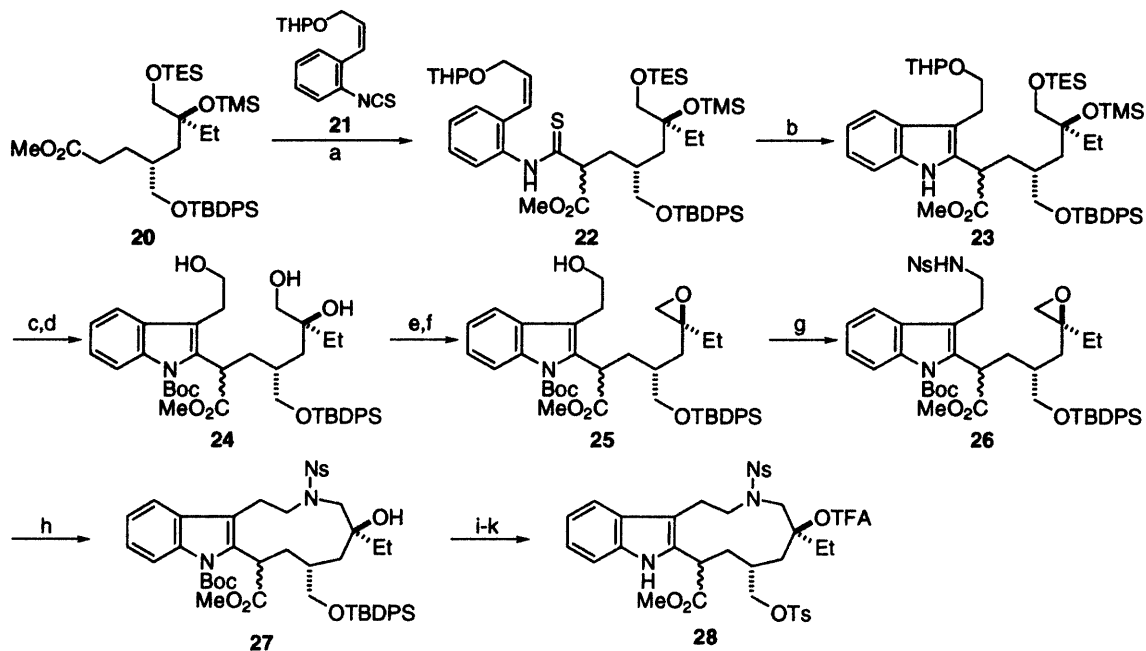
駆体 **28** へと導いた。

Scheme 2



Reagents and conditions: (a) formalin, $\text{Me}_2\text{NH}\cdot\text{HCl}$, Et_3N , H_2O , 60 °C, 60% ; (b) LiAlH_4 , Et_2O , 0 °C, 81% ; (c) $\text{CH}_3\text{C}(\text{OEt})_3$, EtCO_2H , 135 °C; KOH , $\text{EtOH}-\text{H}_2\text{O}$, rt, 83% ; (d) PivCl , Et_3N , Et_2O , 0 °C; $n\text{-BuLi}$, (*R*)-4-benzyl-2-oxazolidinone, THF , -78 °C, 89% ; (e) (*i*- $\text{PrO})\text{TiCl}_3$, *i*- Pr_2NEt , acrylonitrile, CH_2Cl_2 , 0 °C, 73% ; (f) NaBH_4 , $\text{THF}-\text{H}_2\text{O}$, rt, 92% ; (g) TBDPSCl , imidazole, DMF , rt, 92% ; (h) DIBAL , CH_2Cl_2 , -78 °C; (i) $\text{H}_2\text{NOH}\cdot\text{HCl}$, NaOAc , EtOH , rt; (j) NaClO aq, CH_2Cl_2 , rt, 61% (3 steps); (k) Zn , AcOH , 66% ; (l) $m\text{CPBA}$, AcOH , rt; (m) K_2CO_3 , MeOH , rt, 80% (2 steps); (n) TESCl , imidazole, DMF , rt; TMSCl , rt, 92% .

Scheme 3

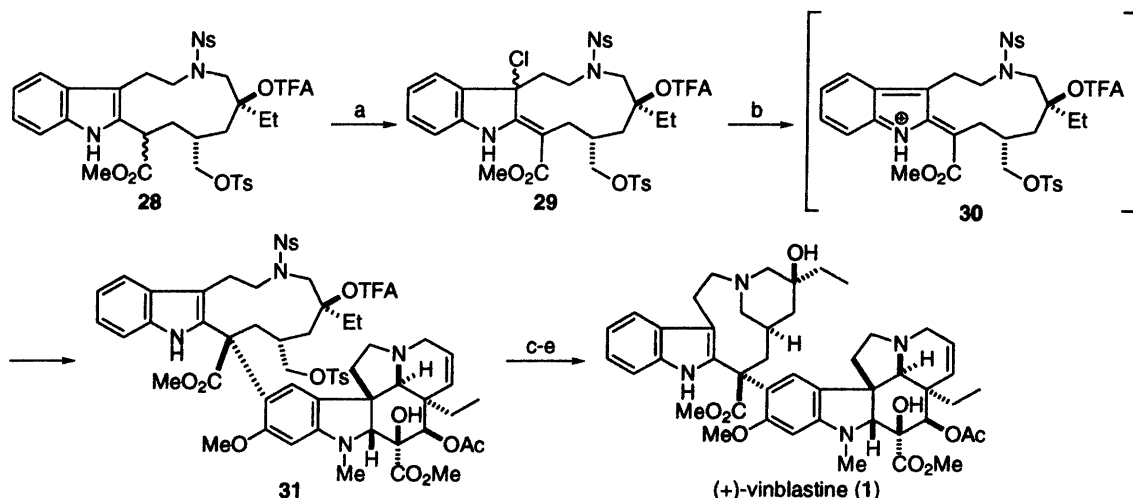


Reagents and conditions: (a) LDA , THF , -78 °C; **21**, -78 to 0 °C, 76% ; (b) Bu_3SnH , Et_3B , THF , rt, 73% ; (c) Boc_2O , Et_3N , DMAP , CH_2Cl_2 , rt, 87% ; (d) $\text{AcOH}-\text{H}_2\text{O}$ (95:5), 80 °C, 63% ; (e) TsCl , Bu_2SnO , Et_3N , CH_2Cl_2 , rt, 83% ; (f) NaHCO_3 , DMF , 80 °C, 91% ; (g) NsNH_2 , DEAD , Ph_3P , toluene, rt, 76% ; (h) K_2CO_3 , DMF , 90 °C, 85% ; (i) TFA , CH_2Cl_2 , rt, 68% ; (j) TsCl , $\text{Me}_2\text{N}(\text{CH}_2)_3\text{NMe}_2$, CH_3CN -toluene, rt, 85% ; (k) TFAA , pyridine , CH_2Cl_2 , rt, 88% .

ビンドリンの導入および全合成の完遂

28 に対して、次のようにして(-)-ビンドリン (**2**) を導入した (Scheme 4)。まず *t*-ブチルハイポクロライトを用いてインドールの3位を塩素化しクロロインドレニン **29**とした後、ビンドリン存在下、トリフルオロ酢酸で処理することにより、望みの立体化学でビンドリンが導入された **31** を、単一異性体として得ることに成功した。クロロインドレニン **29** の酸処理により活性な中間体 **30** を与え、立体的に空いている下側からビンドリンが反応することにより、**31** が得られたものと考えられる。続いてトリフルオロアセチル基、2-ニトロベンゼンスルホニル基 (Ns 基) を除去し、最後にビペリジン環の構築を行うことにより(+)-ビンblastine (**1**) の全合成を達成した。得られた **1** の各種スペクトルデータは、天然物のものと一致した。

Scheme 4



Reagents and conditions: (a) *t*-BuOCl, CH₂Cl₂, 0 °C; (b) (-)-vindoline (2), TFA, CH₂Cl₂, 0 °C to rt, 80%; (c) Et₃N, MeOH, rt, quant.; (d) HSCH₂CH₂OH, DBU, CH₃CN, rt, 76%; (e) NaHCO₃, *i*-PrOH-H₂O, rt, 66%.

参考文献

- 1) a) Noble, R. L.; Beer, C. T.; Cutts, J. H. *Ann. N. Y. Acad. Sci.* **1958**, *76*, 882. b) Svoboda, G. H.; Neuss, N.; Gorman, M. *J. Am. Pharm. Assoc. Sci. Ed.* **1959**, *48*, 659.
- 2) a) Mangeney, P.; Andriamalisoa, R. Z.; Langlois, N.; Langlois, Y.; Potier, P. *J. Am. Chem. Soc.* **1979**, *101*, 2243. b) Kutney, J. P.; Choi, L. S. L.; Nakano, J.; Tsukamoto, H.; McHugh, M.; Boulet, C. A. *Heterocycles* **1988**, *27*, 1845. c) Kuehne, M. E.; Matson, P. A.; Bornmann, W. G. *J. Org. Chem.* **1991**, *56*, 513. d) Magnus, P.; Mendoza, J. S.; Stamford, A.; Ladlow, M.; Willis, P. *J. Am. Chem. Soc.* **1992**, *114*, 10232.
- 3) Tokuyama, H.; Yamashita, T.; Reding, M. T.; Kaburagi, Y.; Fukuyama, T. *J. Am. Chem. Soc.* **1999**, *121*, 3791.
- 4) Kobayashi, S.; Ueda, T.; Fukuyama, T. *Synlett* **2000**, 883.
- 5) Schill, G.; Priester, C. U.; Windhovel, U. F.; Fritz, H. *Helv. Chim. Acta* **1986**, *69*, 438.
- 6) Evans, D. A.; Urpí, F.; Somers, T. C.; Clark, J. S.; Bilodeau, M. T. *J. Am. Chem. Soc.* **1990**, *112*, 8215.
- 7) Fujiwara, A.; Kan, T.; Fukuyama, T. *Synlett* **2000**, 1667.